

徳島大学工学部 正員 端野 道夫  
徳島大学大学院 学生員 ○藤原 敏

1. まえがき： 従来水深の小さい流れ、特に急勾配粗面上の薄層流については余り言ふされていないように思われる。本研究ではこのような急勾配粗面上の等流および降雨実験を行い、その抵抗形態と粗面の粗度特性、斜面勾配、降雨パルスなどとの関係を考察する。

2. 粗面上の薄層流： 薄層流は、流下面が滑面であり粗面であれ層流の抵抗形態と等しい抵抗を示すことが知られている。その抵抗特性は次式のように表わせる。  

$$(1) \quad f' = C/Re \quad \text{ここに } f' \text{ は開水路の摩擦損失係数、} C \text{ は定数であり滑面においては } 6 \text{ であるが粗面においては勾配や粗度の種類により種々の値をとりうる。}$$

$$\text{等流の粗面薄層流をとり扱う場合、水深基面の取り方が問題となるが、水深 } h \text{ を図-1のように取って整理すると見かけ上 } f' \text{ が大きくなり、從て } C \text{ が大きくなることは明白である。既応の研究}^1 \text{ においてもこのような整理方法が採用されている。いま粗面上の流水に關する有効な水深を } h_e \text{ 、前記のような見かけの水深を } h \text{ とすると、次式のように定義される補正係数 } \lambda_e \text{ が考えられる。} (2) \quad h_e = \lambda_e h \quad (3) \quad \lambda_e = LBh_e/LBh = V_e/V$$

$$\text{ここに } L: \text{斜面長、} B: \text{斜面幅、} V: \text{見かけの水容積、} V_e: \text{有効水容積である。物理的にはこの } \lambda_e \text{ は、(3)式で表わせるような流水に關する有効空隙率と見なせる。この有効水深 } h_e \text{ を用いて求めた摩擦損失係数 } f'_e \text{ は(1)式を満足するものとすれば} (4) \quad f'_e = \lambda_e^2 f' \text{ となり(1)式の定数 } C \text{ と有効空隙率 } \lambda_e \text{ との間には次式の関係が成り立つ。} (5) \quad C = 6/\lambda_e^2$$

一般に  $h > h_e$  であり、(5)式より  $h$  の微妙な変化に対して定数  $C$  がかなり敏感に反応することが予想できる。同一粗面、同一勾配であっても水深の変化により有効空隙率  $\lambda_e$  が変われば  $C$  は変化する。さて図-2中の実験ケース I は斜面勾配を固定( $\sin\theta = 0.155$ )し、種々の表面状態について定常降雨実験を行ったもので<sup>3)</sup>、図中 [布+ステラ] とは斜面上にさらし布ヒステラシート(化學織維をよせ集め一定厚に成型したもの)を、[布+ネット] とはさらし布と目が 1 cm の金網を、[布+ネット+ステラ] とは [布+ネット] の上にステラシートを敷いたものを意味する。

また実験ケース II では斜面の粗度を固定して、勾配と流量を変えた等流実験を示す<sup>4)</sup>。粗度要素としては平均の直徑が 9mm と 14.5 mm の人工軽量骨材を一層に敷き始めたものを用いている。実験ケース II の整理結果を見ると、滑面の層流抵抗特性を示す左下の直線より多少勾配が急なことから、定数  $C$  ちなみに前述の有効空隙率  $\lambda_e$  の変化をうかがうことができる。そして勾配が大きいものから小さいものへと下方に平行移動していることから、勾配が大きくなる程定数  $C$  が増加することがわかる。さらに、層流の抵抗形態を示すレンジはかなりの高レイノルズ数まで亘っているが、Chen-Lung Chen<sup>1)</sup>らの花生を用いた等流実験においても、勾配 0.1% で  $Re = 10^4$  まで、勾配  $3/3$  で  $Re = 10^3$  まで層流タイプの抵抗形態が示されていることから、妥当な結果といえる。図-3は実験ケース II のデータを  $C$  へ  $Re$  関係に書き換えたもので、降雨による衝撃の影響を見るために実験ケース II と同じ条件で降雨実験した結果が黒印で追示されている。これによるとケース II のような相対粗度が大きい場合には、降雨による定数  $C$  への影響は顕著ではない。

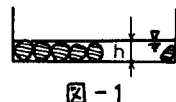


図-1

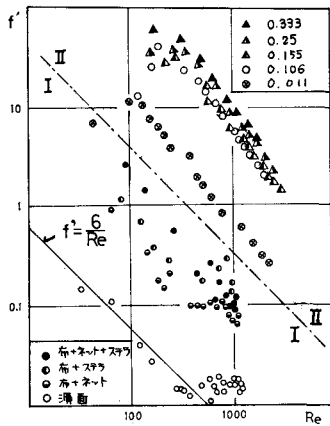


図-2

3. 斜面の抵抗則推定のための一手法： まず斜面上の水收支に関して次の貯留方程式が成り立つとする。 (6)  $\frac{d(h^2)}{dt} = r(t) - g(t)$   
ここに入：空隙率， $h$ ：斜面の平均水深， $r$ ：単位面積当たりの流出高。  
また運動式は、本実験のような急勾配斜面では等流近似式を用いてよ。<sup>4)</sup>

$$(7) \quad h = k g P \left\{ \begin{array}{ll} \text{乱流} & R = \left(\frac{Nl}{k}\right)^P \quad P = \frac{2}{5} \\ \text{層流} & R = \left(\frac{Nl}{2gI}\right)^P \quad P = \frac{1}{3} \\ \text{中間流} & R = l/kI \quad P = 1 \end{array} \right.$$

ここに  $N$ ：マニンク係数， $I$ ：斜面勾配， $l$ ：斜面長， $R$ ：動粘性係数， $10^3$   
 $k$ ：透水係数である。(6), (7)式より計算流量は(8)式のように表  
わせる。(8)  $\dot{Q}(t) = \left[ \int_0^t (r-g) ds / R \right]^{\frac{1}{P}}$  実測の流出高  $g$  と計算流出高  $\dot{Q}$  との時刻  $T$  までの累  
加平均誤差  $E$  は次式のように定義できる。(9)  $E = \left[ \frac{1}{T} \int_0^T \{ \dot{Q}(t) - g(t) \}^2 dt \right]^{\frac{1}{2}}$  (8)式を(9)式に代入  
すると(10)  $E = \left[ \frac{1}{T} \int_0^T \left\{ \left( \int_0^t (r-g) ds / R \right)^{\frac{1}{P}} - g \right\}^2 dt \right]^{\frac{1}{2}}$  となり、時刻  $T$  における誤差  $E$  は長， $P$  の  
値により決定できる。しかも  $P$  は  $R$  の内容によって(7)式後半のように一意的には決まるから、結局  $E$  は  $R$   
のみの関数となり、水深  $h = \int_0^t (r-g) ds$  と  $g(t)$  は既知の値だから  $E$  を最小にするには  $R = 0$  となる  
ような危険を擇ねばよい。 $E$  の最小値は(7)式に示す三種類の場合について各々存在し、その時の  $R$  の値は

$$(11) \quad R^{\frac{1}{P}} = \frac{\int_0^T h^{\frac{2}{P}} dt}{\int_0^T (g \times h^{\frac{1}{P}}) dt} \quad (12) \quad E^2 = \frac{1}{T} \left[ \int_0^T g(t)^2 dt - \frac{1}{R^{\frac{1}{P}}} \int_0^T h^{\frac{2}{P}} g dt \right]$$

(11)式により得られる。また  $E$  の最小値は(12)式の平方根を求めればよい。これらの式を用いて(7)式で示す  
それぞれの  $R$ ， $P$  に対する三種類の  $E$  の値を比較することにより斜面上の流出形態を推定できる。本実験に  
この手法を適用した結果を示すと図-4, 図-5のようである。図-5は  $E$  を最小にする定数  $C$  を用いたハイドログラフとマニンクの  $N$  によるもの、それに実測値とを比較したもので、 $C=1$  より計算結果の方が適合性  
が高いことがわかる。このことは前述の層流レンジの広さから考えても妥当な結果と考えられる。図-5では、定数  $C$  は降雨開始後  
26秒までは一定値 9000 を取り、それ以後急に  $E$  が大きくな  
た例である。しかも 26秒付近のレイノルズ数から考えて、未だ抵抗形態は層流タイプをなすはずだから、これは定数  $C$  の変化に他  
ならない。この時の水深は 9mm を少し超える程度で粗度要素の直  
径が 9mm であることから、抵抗の少ない粗度要素の上を行く流れ  
が卓越し始めたと解釈できる。ゆえに 26秒以後は  $E$  を最小にす  
る値として  $C=4600$  を得、これを用いて定常時まで計算した。な  
おていい減部には  $C=7000$  を用いている。このように本法のよう  
な簡便法から計算された  $E$  を評価することによ、てもかなり流れの  
状態を把握することができ、実流域への応用も可能であろう。

4. あとがき：本研究で明らかになったことは、等流実験については、勾配が大なる程  $C$  の値も増加し、粗度が遅、ても同じ傾向  
を示す。抵抗特性については相当な高  $Re$  数まで層流タイプを呈す  
る。降雨の影響については、相対粗度が大きいため顕著ではなかった。また本研究で提案された抵抗則推定の  
ための手法は本実験に適用した場合も充分有効であり、流れの状態の把握に役立つことがわかった。

参考文献：1) Cheng-lung Chen Flow Resistance In Broad Shallow Grassed Channels ASCE March 1976. 2) 姫野道夫  
山地小流域の表面流抵抗則について S49.50年度 大部活科学研究会実験物別研究会(1) 昭和51年 3) 姫野道夫、  
西村満：山地小流域の抵抗則に関する実験的研究 昭和50年度 中四支部講演会摘要 4) 姫野道夫、森原敏 実勾配斜面での等流にに関する  
実験的研究 昭和51年度 中四支部講演会摘要

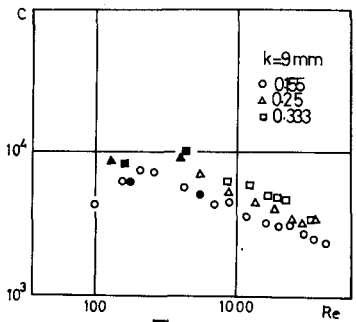


図-3

実測の流出高  $g$  と計算流出高  $\dot{Q}$  との時刻  $T$  までの累  
加平均誤差  $E$  は次式のように定義できる。(9)  $E = \left[ \frac{1}{T} \int_0^T \{ \dot{Q}(t) - g(t) \}^2 dt \right]^{\frac{1}{2}}$  (8)式を(9)式に代入  
すると(10)  $E = \left[ \frac{1}{T} \int_0^T \left\{ \left( \int_0^t (r-g) ds / R \right)^{\frac{1}{P}} - g \right\}^2 dt \right]^{\frac{1}{2}}$  となり、時刻  $T$  における誤差  $E$  は長， $P$  の  
値により決定できる。しかも  $P$  は  $R$  の内容によって(7)式後半のように一意的には決まるから、結局  $E$  は  $R$   
のみの関数となり、水深  $h = \int_0^t (r-g) ds$  と  $g(t)$  は既知の値だから  $E$  を最小にするには  $R = 0$  となる  
ような危険を擇ねばよい。 $E$  の最小値は(7)式に示す三種類の場合について各々存在し、その時の  $R$  の値は

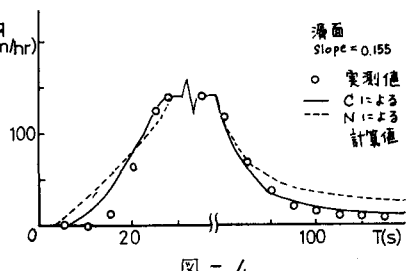


図-4

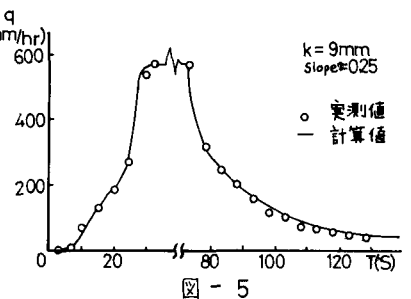


図-5